

海森伯铁磁系统的总能量

王怀玉¹⁾ 夏青²⁾

1) 清华大学物理系, 北京 100084)

2) 西安机电信息技术研究所, 西安 710065)

(2007 年 1 月 12 日收到, 2007 年 2 月 2 日收到修改稿)

对于海森伯铁磁系统, 利用多体格林函数方法, 在无规相近似下, 并且考虑到关联函数 $S^+ S^-$ 时, 得到对于任意自旋 S 普遍适用的总能量的表达式. 对于三维和二维的情况给出了计算结果. 得到的总能量的数值低于没有考虑关联函数时的数值.

关键词: 海森伯模型, 铁磁系统, 总能量, 关联函数

PACC: 7510, 7510J

描述一个铁磁体的哈密顿量为

$$H = -\frac{1}{2} J \sum_{\langle i,j \rangle} S_i \cdot S_j - K_2 \sum_i (S_i^x)^2 - B_z \sum_i S_i^z \quad (1)$$

其中第一项是交换相互作用项. 本文只考虑最近邻交换作用. 第二项是单离子各项异性项. 第三项是有外磁场时的能量. 本文设交换强度 J 、各项异性强度 K_2 、外磁场 B_z 和温度 T 都是无量纲的量. 对于这样一个系统, 我们已经可以运用多体格林函数方法求出磁化强度随温度的变化, 并且有一个对于任意自旋量子数 S 适用的普遍公式^[1-3]. 本文要求的是对于任意自旋量子数 S 都适用的比较严格的总能量表达式.

总能量是哈密顿量的系综平均值. 考虑到晶格的平移周期性, 每一个格点上自旋的状态相同, 我们只要计算平均每个自旋的能量如下:

$$E_i = -\frac{1}{2} J \sum_j S_i^+ S_j^- + S_i^z S_j^z - K_2 (S_i^x)^2 - B_z S_i^z \quad (2)$$

式中对 j 的求和只涉及 i 的最近邻格点. 由于平移周期性, i 格点可只取原点. (2) 式中的下标 i 可以去掉. (2) 式中的后两项是可以利用 S^x 的表达式直接计算得到的^[1-3]. 现在的主要任务就是处理交换相互作用项.

在最简单的近似下, 可以直接采用无规相近似. 由于 i 和 j 格点不相同, 无规相近似就是 $S_i \cdot S_j \approx S_i \cdot S_j$ ^[1-4]. 我们设磁化强度的方向是 z 方向. 自旋算符在 x 和 y 两个方向上的平均值为零. 因此得到的能量平均值为

$$E = -\frac{1}{2} z_0 J S^z{}^2 - K_2 (S^x)^2 - B_z S^z \quad (3)$$

也就是说, 对于 (2) 式中的第一项做了这样的近似:

$$S_i^+ S_j^- + S_i^z S_j^z \approx S_i^+ S_j^- + S_i^z S_j^z = S_i^z S_j^z$$

在 z 方向的项做 $S_i^z S_j^z = S_i^z S_j^z$. 这样的近似是没有问题的. 可是 $S_i^+ S_j^-$ 这一项由于近似而成为零是有问题的. 这一项是表示自旋波传播的关联函数, 而实际上关联函数是不为零的. 因此必须小心地处理这一项. 下面我们较为严格地得到 $S_i^+ S_j^- + S_i^z S_j^z$ 这一项的表达式.

我们运用多体格林函数方法, 这一方法运用于处理海森伯磁性系统已经被证明是非常成功的^[4-11]. 用算符 A 和 B 构成推迟格林函数

$$G^R(t-t') = A(t); B(t')^R = -i\theta(t-t') A(t)B(t') - B(t')A(t) \quad (4)$$

由于哈密顿量不含时间, 格林函数与下面的所有双时变量的函数都是时间差 $t-t'$ 的函数, 都可以对宗量 $t-t'$ 做傅里叶变换. 做时间傅里叶变换之后, 格林函数所满足的运动方程为

$$\omega A; B^R(\omega) = [A, B] + [A, H]; B^R(\omega) \quad (5)$$

我们选择的构成格林函数的两个算符为

$$A = S^+, B = e^{iS^z} S^- \quad (6)$$

考虑到每个格点都有一个自旋, 算符加上格点的指标如下:

$$A_l = S_l^+, B_m = e^{iS_m^z} S_m^- \quad (7)$$

代入(5)式后,算得运动方程如下:

$$\begin{aligned} & \omega A_l ; B_m^R(\omega) \\ & = 2[A, B] \delta_{lm} + g\mu_B H A_l ; B_m^R(\omega) \\ & - 2J S^z \sum_j [A_l ; B^R - A_l ; B_m^R], \quad (8) \end{aligned}$$

其中利用了空间均匀性, $S_m^z = S^z$. 对 j 的求和只涉及 l 格点的最近邻. 再做空间傅里叶变换

$$\begin{aligned} G_{lm}^R(\omega) &= A_l ; B_m^R(\omega) \\ &= \frac{1}{N} \sum_k A ; B^R(k, \omega) e^{-ik \cdot (l-m)}, \quad (9) \end{aligned}$$

可解得格林函数

$$\begin{aligned} G^R(k, \omega) &= \alpha(k, \omega + i0^+) \\ &= \frac{1}{\omega - \alpha(k) + i0^+}. \quad (10) \end{aligned}$$

系统的能谱就是格林函数的极点.

$$\begin{aligned} \alpha(k) &= S^z [K(0) - K(k)] \\ &+ 2K_2 C S^z + B_z, \quad (11) \end{aligned}$$

其中

$$K(k) = J \sum_a e^{ik \cdot a}, \quad (12)$$

a 表示原点的最近邻格点的位矢, 并且

$$C = 1 - \frac{1}{2S^2} [S(S+1) - (S^z)^2]. \quad (13)$$

在对高阶格林函数降阶为低阶格林函数时, 对于交换作用项, 做了无规相近似^[1]. 对于单离子各项异性项, 做了 Anderson-Callen 近似^[5]. Anderson-Callen 近似只适用于单离子各项异性系数 K_2 小于交换强度 J 的情况^[12].

以下运用谱定理^[11]

$$\begin{aligned} & B_m(t') A_l(t) \\ &= \frac{[A, B]}{2\pi} \int_{-\infty}^{\infty} \frac{d\omega}{e^{\beta\omega} - 1} \frac{1}{N} \\ & \times \sum_k [\alpha(\omega + i0^+) - \alpha(\omega - i0^+)] \\ & \times e^{-ik \cdot (l-m)} e^{-i\alpha(l-t')}, \quad (14) \end{aligned}$$

当 $l = m$ 时, 简化为

$$\begin{aligned} B(t') A(t) &= [A, B] \int_{-\infty}^{\infty} \frac{d\omega}{e^{\beta\omega} - 1} \frac{1}{2\pi N} \\ & \times \sum_k [\alpha(k, \omega + i0^+) \\ & - \alpha(k, \omega - i0^+)] e^{-i\alpha(l-t')}, \quad (15) \end{aligned}$$

当 $t = t' = 0$ 时, 用(10)式可以得到

$$BA = \frac{[A, B]}{N} \sum_k \frac{1}{e^{\beta\alpha(k)} - 1} = [A, B] \Phi \quad (16)$$

其中定义了 Φ . (15)式两边对时间 t 求导一次, 可以得到

$$\begin{aligned} & i \frac{d}{dt} B(t') A(t) \\ &= B(t') [A(t), H] \\ &= [A, B] \int_{-\infty}^{\infty} \frac{\omega d\omega}{e^{\beta\omega} - 1} \frac{1}{2\pi N} \\ & \times \sum_k [\alpha(k, \omega + i0^+) \\ & - \alpha(k, \omega - i0^+)] e^{-i\alpha(l-t')}, \quad (17) \end{aligned}$$

当 $t = t' = 0$,

$$\begin{aligned} B[A, H] &= \frac{[A, B]}{N} \sum_k \frac{\alpha(k)}{e^{\beta\alpha(k)} - 1} \\ &= [A, B] \Phi_1, \quad (18) \end{aligned}$$

其中定义了 Φ_1 .

做 A_l 和 B_m 两个算符的对易关系.

$$[S_l^+ e^{uS_m^z} S_m^-] = \delta_{lm} [(e^{-u} - 1) e^{uS^z} S^+ S^- + 2e^{uS^z} S^z]. \quad (19)$$

令

$$\psi(u) = e^{uS^z} \quad (20)$$

是宗量为 u 的函数, 那么有

$$e^{uS^z} (S^z)^n = \frac{d^n}{du^n} \psi(u). \quad (21)$$

再利用恒等式

$$S^- S^+ = S(S+1) - S^z - (S^z)^2, \quad (22)$$

(16)式的左边为

$$e^{uS^z} S^- S^+ = S(S+1)\psi(u) - \psi'(u) - \psi''(u). \quad (23)$$

把(19)式代入(16)式得到

$$\begin{aligned} & S(S+1)\psi(u) - \psi'(u) - \psi''(u) \\ &= \{e^{-u} - 1\} [S(S+1)\psi(u) + \psi'(u) - \psi''(u)] \\ &+ 2\psi'(u)\Phi, \quad (24) \end{aligned}$$

此式是一个二阶常微分方程, 其解为^[3, 13, 14]

$$\psi(u) = \frac{(\Phi + 1)^{S+1} e^{(S+1)u} - \Phi^{2S+1} e^{-Su}}{[(\Phi + 1)^{2S+1} - \Phi^{2S+1}] (e^u - \Phi)}. \quad (25)$$

这一函数及其各阶导数的初值可算得如下:

$$\psi(0) = 1, \quad (26a)$$

$$\begin{aligned} S^z &= \psi'(0) \\ &= \frac{(\Phi + 1 + S)\Phi^{2S-1} - (\Phi - S)(\Phi + 1)^{2S+1}}{(\Phi + 1)^{2S+1} - \Phi^{2S+1}}, \quad (26b) \end{aligned}$$

$$\begin{aligned} (S^z)^2 &= \psi''(0) \\ &= S(S+1) - (1 + 2\Phi) S^z, \quad (26c) \end{aligned}$$

$$(S^z)^3 = \psi'''(0)$$

$$= \frac{1}{2} [[\mathcal{K}(S+1) - 3] (S^z)^2 (1 + 2\Phi) + (2S^2 + 2S - 1) S^z] \quad (26d)$$

由(18)式,得到关联函数对时间求导的结果为

$$\begin{aligned} & e^{uS^z} S^- [S^+, H] \\ &= [S^+ e^{uS^z} S^-] \Phi_1 \\ &= \{ [e^{-u} - 1] \mathcal{K}(S+1) \psi(u) + \psi'(u) - \psi''(u) \} + 2\psi'(u) \} \Phi_1. \end{aligned} \quad (27)$$

计算(27)式左边

$$\begin{aligned} & e^{uS_m^z} S_m^- [S_m^+, H] \\ &= -J e^{uS_m^z} S_m^- \sum_j [S_m^z S_j^+ - S_j^z S_m^+] \\ &+ K_2 e^{uS_m^z} S_m^- (S_m^z S_m^+ + S_m^+ S_m^z) \\ &+ B_z e^{uS_m^z} S_m^- S_m^+. \end{aligned} \quad (28)$$

我们逐项计算(28)式右边. 第一项为

$$\begin{aligned} & -J e^{uS_m^z} \sum_j [S_m^- S_m^z S_j^+ - S_m^- S_m^+ S_j^z] \\ &= -J e^{uS_m^z} \sum_j [S_m^- S_j^+ + S_m^z S_j^z \\ &+ S_m^z S_m^- S_j^+ - \mathcal{K}(S+1) S_j^z \\ &+ (S_m^z)^2 S_j^z] \\ &= -J e^{uS_m^z} \sum_j (S_m^- S_j^+ + S_m^z S_j^z) \\ &- J \sum_j e^{uS_m^z} S_m^- S_m^z S_j^+ \\ &+ \mathcal{K}(0) \mathcal{K}(S+1) \psi'(u) \\ &- \mathcal{K}(0) \psi''(u) S^z. \end{aligned} \quad (29)$$

其中要注意到对格点 j 的求和只涉及格点 m 的最近邻. (29)式中右边的第一项将通过(2)式用能量来表达. 现在看(29)式中右边第二项的处理. 首先计算

$$\begin{aligned} & J \sum_j e^{uS_m^z} S_m^- S_j^+ . \text{运用谱定理(14)式,令 } l=j, \text{ 并且是 } m \text{ 的最近邻, 再对 } j \text{ 求和得到} \\ & J \sum_j B_{mj} A_j = \left[\frac{A, B}{2\pi} \right]_{-1}^{\infty} \int_{-\infty}^{\infty} \frac{d\omega}{e^{\beta\omega} - 1} \frac{1}{N} \\ & \times \sum_k [\alpha(\omega + i0^+) - \alpha(\omega - i0^+)] \mathcal{K}(k) \\ &= [A, B] \frac{1}{N} \sum_k \frac{\mathcal{K}(k)}{e^{\beta\mathcal{K}(k)} - 1} \\ &= [A, B] \Phi_2. \end{aligned} \quad (30)$$

其中已定义了 Φ_2 , 再利用对易式(19)式,

$$\begin{aligned} & -J \sum_j e^{uS_m^z} S_m^- S_m^z S_j^+ \\ &= -\frac{d}{du} J \sum_j e^{uS_m^z} S_m^- S_j^+ \end{aligned}$$

$$\begin{aligned} &= -\frac{d}{du} \{ [e^{-u} - 1] \mathcal{K}(S+1) \psi(u) \\ &+ \psi'(u) - \psi''(u) \} + 2\psi'(u) \} \Phi_2 \\ &= \{ e^{-u} [\mathcal{K}(S+1) \psi(u) + \psi'(u) - \psi''(u)] \\ &- 2\psi''(u) \} \Phi_2 - (e^{-u} - 1) \\ &\times [\mathcal{K}(S+1) \psi'(u) + \psi''(u) - \psi'''(u)] \Phi_2. \end{aligned} \quad (31)$$

现在计算(28)式右边的第二项, 结果是

$$\begin{aligned} & K_2 e^{uS^z} S^- (S^z S^+ + S^+ S^z) \\ &= K_2 [\mathcal{K}(S+1) \psi(u) + (2S^2 + 2S - 1) \psi'(u) \\ &- 3\psi''(u) - 2\psi'''(u)]. \end{aligned} \quad (32)$$

(28)式右边的第三项, 则可利用(23)式, 将(23, 29, 31, 32)式代入(28)式, 使之与(27)式相等, 并令 $u=0$, 就得到能量的表达式为

$$\begin{aligned} E &= S^z \Phi_1 - \frac{1}{2} [\mathcal{K}(S+1) + S^z - 3(S^z)^2] \Phi_2 \\ &- \frac{1}{2} \mathcal{K}(0) [\mathcal{K}(S+1) - (S^z)^2] S^z \\ &- \frac{1}{2} K_2 [\mathcal{K}(S+1) + (2S^2 + 2S - 1) S^z \\ &- (S^z)^2 - 2(S^z)^3] \\ &- \frac{1}{2} B_z [\mathcal{K}(S+1) + S^z - (S^z)^2]. \end{aligned} \quad (33)$$

其中已代入(2)式. 由于空间的平移不变性, 我们已经略去了(2)式中表示格点的下标 i . S^z , $(S^z)^2$ 和 $(S^z)^3$ 各量可由(26)式算出.

下面我们给出数值结果. 我们令 $J=100$. 在图1—图4中, 实线是由(33)式计算得到, 虚线是由(3)式计算得到. 我们看到, 由于对于(2)式中的 $S_i^+ S_j^-$ 关联函数做了较为严格的考虑, 实线的能量值比虚线的要低. 在绝对零度时, 两者的能量是一样的, 因为零温时不存在热力学的涨落.

对于三维情况, 令各项异性常数 $K_2=0$. 图1是简立方晶格的 $S=1/2, 1, 3/2, 2$ 时的数值结果. 图2和图3给出体心立方和面心立方晶格的结果.

图4是二维的情况, 由于各向同性的海森伯模型在二维情况下是没有自发磁化的^[15, 16], 要加上各项异性项才会出现自发磁化, 即在(1)式中 K_2 必须不为零. 一般认为 K_2 比 J 小两个数量级. 本文令 $K_2=1$, 当 $S=1/2$ 时 $(S^z)^2 = \frac{1}{4}$, 不显现各项异性. 因此, 图4画出了 $S=1, 3/2, 2, 5/2$ 时的数值结果.

由能量的表达式对温度求导可得到比热, 不过我们不在这儿具体地计算了. 只要根据曲线的形状

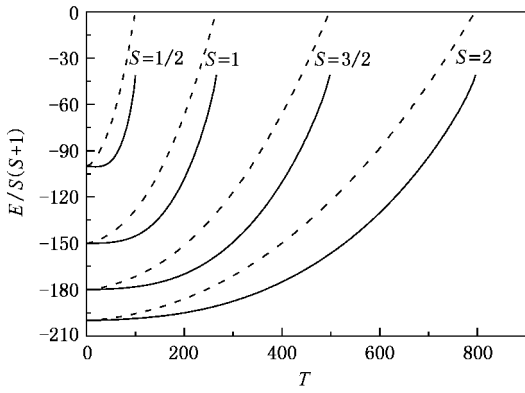


图 1 简立方晶格的铁磁能量随温度的变化

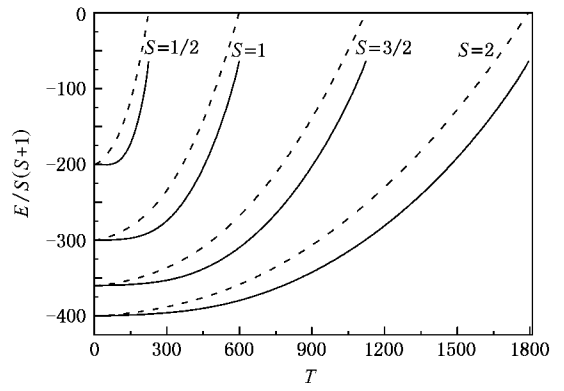


图 3 面心立方晶格的铁磁能量随温度的变化

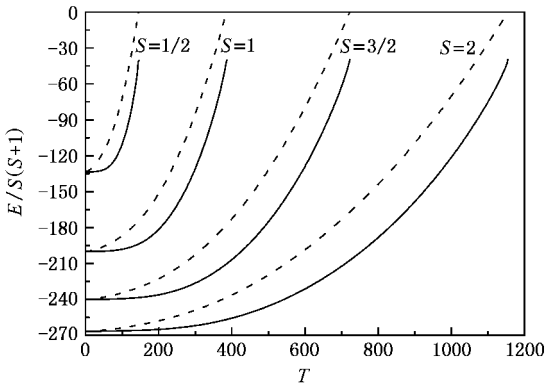


图 2 体心立方晶格的铁磁能量随温度的变化

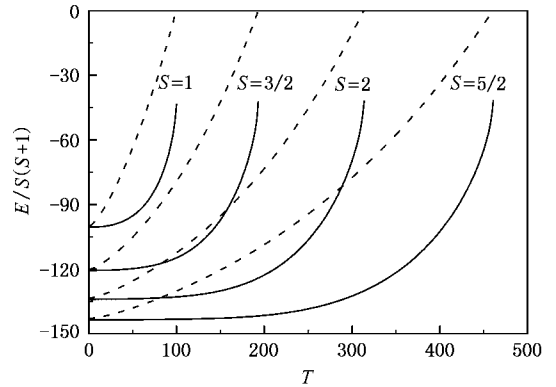


图 4 二维方格子的铁磁能量随温度的变化

就大致知道比热的变化的情况. 在这儿做一定性地讨论. 比热总是大于等于零的. 接近零温时比热接近于零. 随着温度的升高比热增加.

尽管在公式中已经把外磁场考虑进去, 本文的数值计算中未加进外磁场. 从(33)式可以看出, 加上外磁场后, 能量会有所降低.

- [1] Tyablikov S T 1967 *Methods in the Quantum Theory of Magnetism* (Plenum, New York)
- [2] Tahir-Kheli R A, Haar D T 1962 *Phys. Rev.* **127** 88 ;95
- [3] Callen H B 1963 *Phys. Rev.* **130** 890
- [4] Zheng Q Q, Pu F C 1964 *Acta. Phys. Sin.* **20** 624 (in Chinese)
[郑庆祺、蒲富格 1964 物理学报 **20** 624]
- [5] Anderson F B, Callen H B 1964 *Phys. Rev.* **136** A1068
- [6] Wang H Y, Zhou Y S, Wang C Y 2002 *Commun. Theor. Phys.* **38** 107
- [7] Wang H Y, Zhou Y S, Wang C Y, Lin D L 2002 *Chin. Phys.* **11** 167
- [8] Wang H Y, Xun K, Xiao L 2004 *Phys. Rev. B* **70** 214431

- [9] Wang H Y, Dai Z H 2004 *Commun. Theor. Phys.* **42** 141
- [10] Wang H Y, Chen K Q, Wang E G 2002 *Phys. Rev. B* **66** 092405
- [11] Wang H Y, Wang S Y, Wang C Y, Duan W H, Chen K Q 2003 *J. Phys. : Condens. Matter* **15** 2783
- [12] Wang H Y, Jen S U, Yu J Z 2006 *Phys. Rev. B* **73** 094414
- [13] Wang H Y, Zhou B, Chen N X 2005 *Commun. Theor. Phys.* **43** 753
- [14] Wang H Y, Long Y, Chen N X 2006 *Commun. Theor. Phys.* **45** 175
- [15] Mermin N M, Wagner H 1966 *Phys. Rev. Lett.* **17** 1133
- [16] Tao R B, Pu F C 1980 *Acta. Phys. Sin.* **29** 658 (in Chinese) [陶瑞宝、蒲富格 1980 物理学报 **29** 658]

The total energy of Heisenberg ferromagnetic systems

Wang Huai-Yu¹⁾ Xia Qing²⁾

¹⁾ *Department of Physics, Tsinghua University, Beijing 100084, China*

²⁾ *Xi'an Institute of Electromechanical Information Technology, Xi'an 710065, China*

(Received 12 January 2007 ; revised manuscript received 2 February 2007)

Abstract

The total energy of the Heisenberg ferromagnetic system is calculated by the many-body Green's function method under random phase approximation when the correlation function $S^+ S^-$ is considered. A general expression of the total energy universally applicable to any spin quantum number S is obtained. Numerical results are computed. The energy is lower than the case when the correlation function is not included.

Keywords : Heisenberg model , ferromagnetic system , total energy , correlation function

PACC : 7510 , 7510J